

Figure 1: Temps d'exécution des threads pour le fichier gemm.c

Table 1: Statistiques pour le fichier gemm.c

Statistique	Algebraic Tile	Tile (static)	Tile (dynamic)
Skewness (g1)	-0.0693501	-6.11937	-6.26377
Kurtosis (g2)	-1.41896	37.4752	40.7194
Coefficient de variation $\frac{\sigma}{\mu}$	0.00202857	0.142539	0.137311
Percent Imbalance metric en %	0.349392	2.57295	6.04302
Coefficient de Gini	0.00114011	0.0242627	0.0327781
Temps d'exécution (s)	2.904415	3.946193	2.953131

$$g1 = \frac{\sum_{i=1}^n (x_i - \bar{x})^3}{n\sigma^3} \quad g2 = \frac{\sum_{i=1}^n (x_i - \bar{x})^4}{n\sigma^4} \quad \text{Coefficient de Gini} = \frac{\sum_{i=1}^n \sum_{j=1}^n |x_i - x_j|}{2n^2\bar{x}}$$

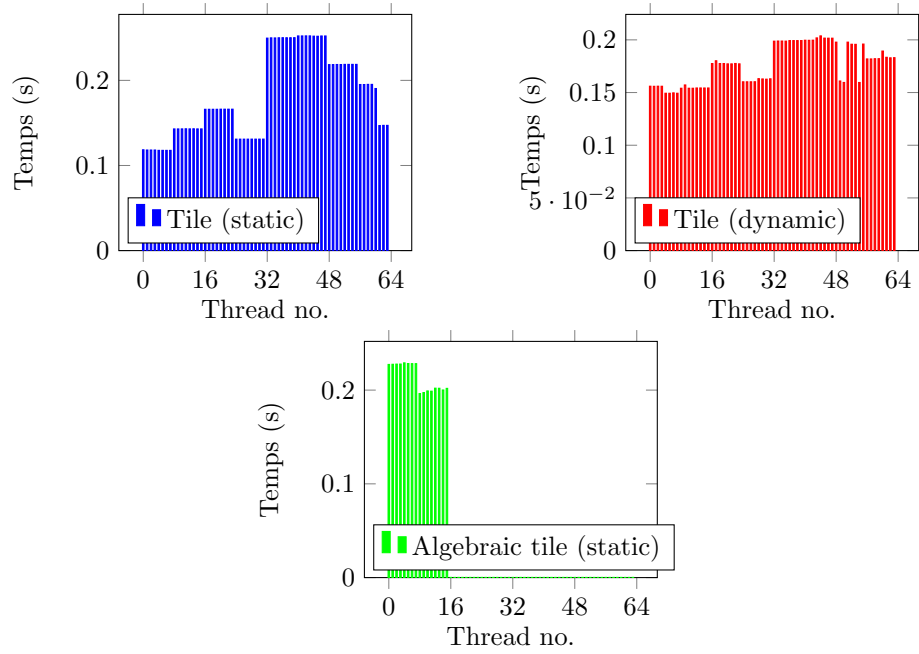


Figure 2: Temps d'exécution des threads pour le fichier gemver.c

Table 2: Statistiques pour le fichier gemver.c

Statistique	Algebraic Tile	Tile (static)	Tile (dynamic)
Skewness (g1)	1.17501	0.241278	0.0226222
Kurtosis (g2)	-0.588698	-1.50823	-1.56962
Coefficient de variation $\frac{s}{\bar{x}}$	1.72956	0.274199	0.106169
Percent Imbalance metric en %	326.982	38.6572	15.3578
Coefficient de Gini	0.755397	0.154363	0.0600305
Temps d'exécution (s)	0.229499	0.252539	0.203949

$$g1 = \frac{\sum_{i=1}^n (x_i - \bar{x})^3}{n\sigma^3} \quad g2 = \frac{\sum_{i=1}^n (x_i - \bar{x})^4}{n\sigma^4} \quad \text{Coefficient de Gini} = \frac{\sum_{i=1}^n \sum_{j=1}^n |x_i - x_j|}{2n^2\bar{x}}$$

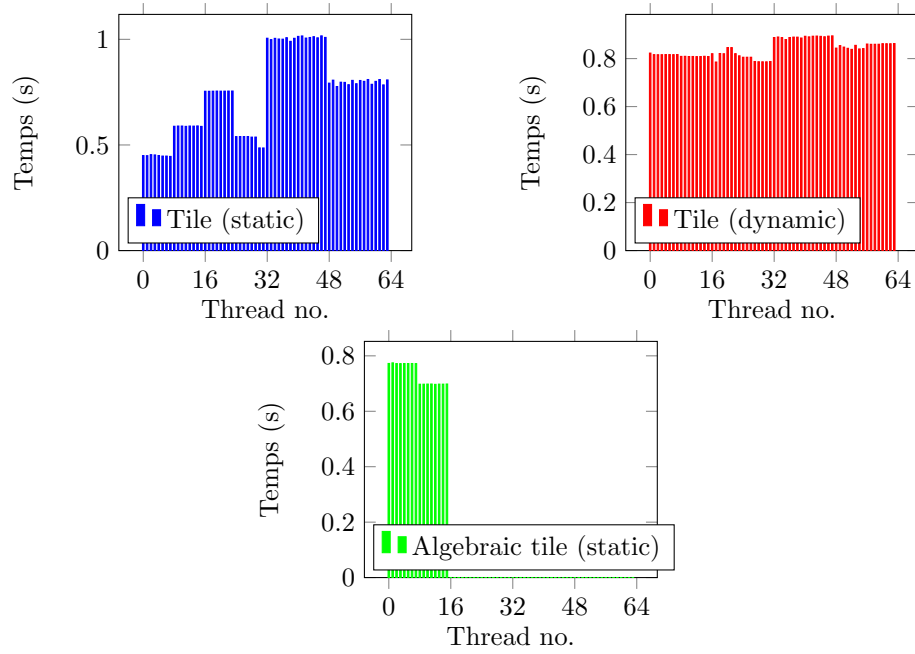


Figure 3: Temps d'exécution des threads pour le fichier gesummv.c

Table 3: Statistiques pour le fichier gesummv.c

Statistique	Algebraic Tile	Tile (static)	Tile (dynamic)
Skewness (g1)	1.16651	-0.00967342	0.166289
Kurtosis (g2)	-0.621235	-1.24907	-1.30299
Coefficient de variation $\frac{\sigma}{\mu}$	1.73265	0.262587	0.0417689
Percent Imbalance metric en %	321.051	37.2019	6.3765
Coefficient de Gini	0.755367	0.148051	0.0237404
Temps d'exécution (s)	0.774799	1.016626	0.895688

$$g1 = \frac{\sum_{i=1}^n (x_i - \bar{x})^3}{n\sigma^3} \quad g2 = \frac{\sum_{i=1}^n (x_i - \bar{x})^4}{n\sigma^4} \quad \text{Coefficient de Gini} = \frac{\sum_{i=1}^n \sum_{j=1}^n |x_i - x_j|}{2n^2\bar{x}}$$

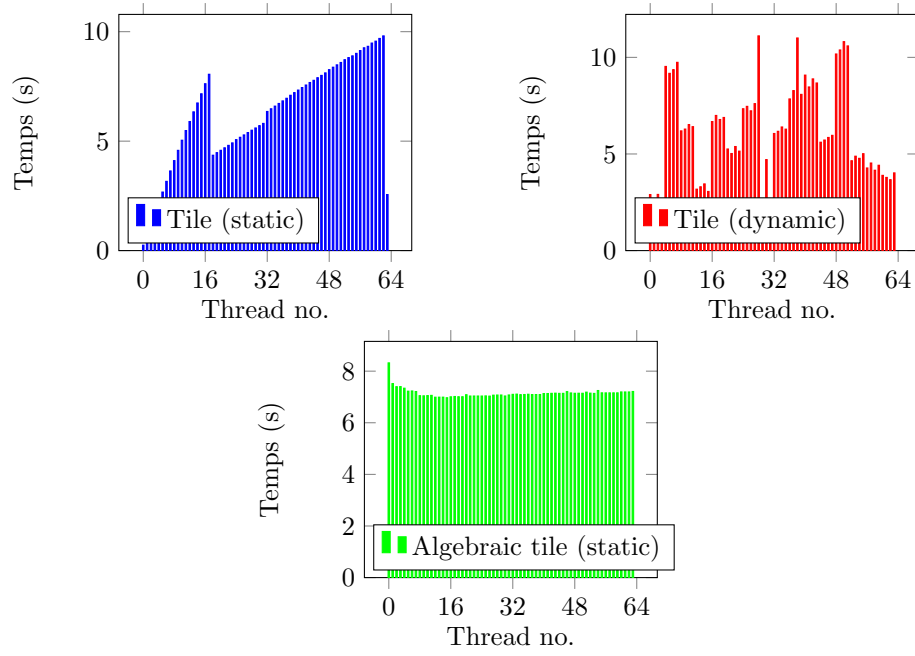


Figure 4: Temps d'exécution des threads pour le fichier syr2k.c

Table 4: Statistiques pour le fichier syr2k.c

Statistique	Algebraic Tile	Tile (static)	Tile (dynamic)
Skewness (g1)	4.54118	-0.621619	0.325543
Kurtosis (g2)	26.2421	-0.213442	-0.833634
Coefficient de variation $\frac{s}{\bar{x}}$	0.0251626	0.37147	0.386638
Percent Imbalance metric en %	16.4756	56.1072	78.5946
Coefficient de Gini	0.00983766	0.208546	0.220977
Temps d'exécution (s)	8.329641	9.809628	11.115725

$$g1 = \frac{\sum_{i=1}^n (x_i - \bar{x})^3}{n\sigma^3} \quad g2 = \frac{\sum_{i=1}^n (x_i - \bar{x})^4}{n\sigma^4} \quad \text{Coefficient de Gini} = \frac{\sum_{i=1}^n \sum_{j=1}^n |x_i - x_j|}{2n^2\bar{x}}$$

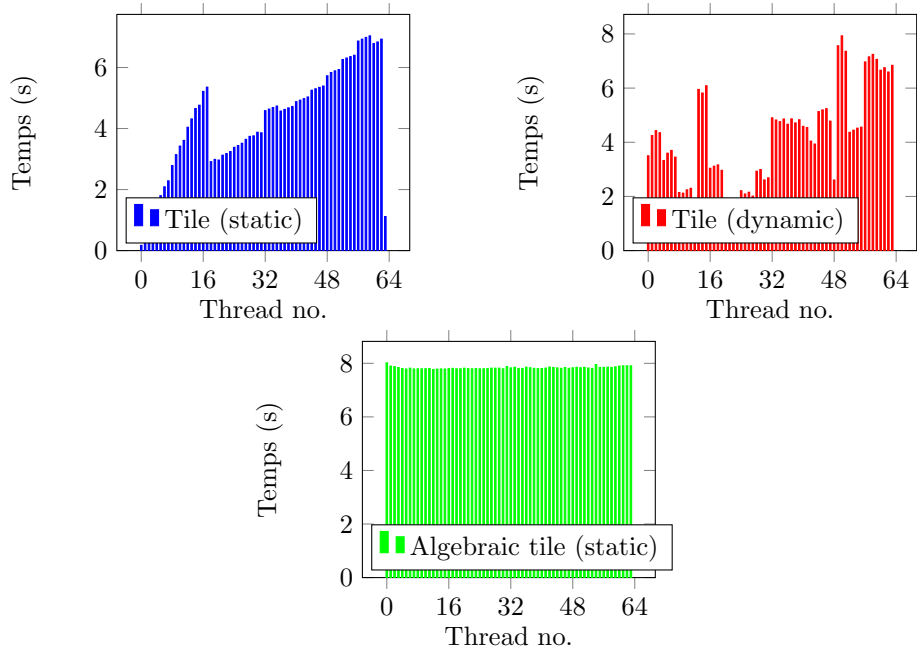


Figure 5: Temps d'exécution des threads pour le fichier syrk.c

Table 5: Statistiques pour le fichier syrk.c

Statistique	Algebraic Tile	Tile (static)	Tile (dynamic)
Skewness (g1)	1.79149	-0.418508	0.329025
Kurtosis (g2)	4.32312	-0.366596	-0.86444
Coefficient de variation $\frac{s}{\bar{x}}$	0.00550691	0.398402	0.405296
Percent Imbalance metric en %	2.38215	63.3495	86.1037
Coefficient de Gini	0.00279572	0.224678	0.230479
Temps d'exécution (s)	8.025838	7.037140	7.930601

$$g1 = \frac{\sum_{i=1}^n (x_i - \bar{x})^3}{n\sigma^3} \quad g2 = \frac{\sum_{i=1}^n (x_i - \bar{x})^4}{n\sigma^4} \quad \text{Coefficient de Gini} = \frac{\sum_{i=1}^n \sum_{j=1}^n |x_i - x_j|}{2n^2\bar{x}}$$

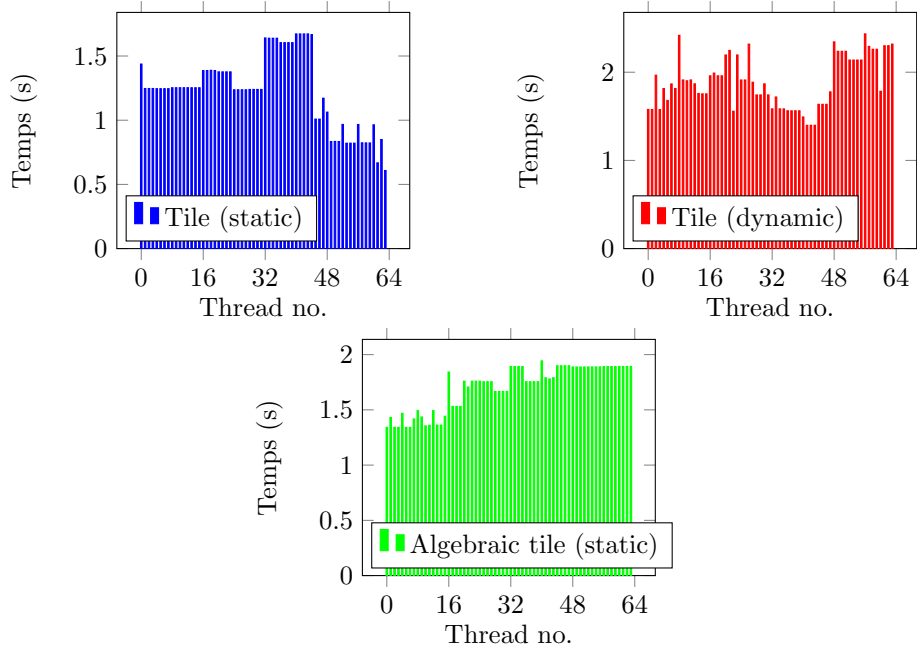


Figure 6: Temps d'exécution des threads pour le fichier trmm.c

Table 6: Statistiques pour le fichier trmm.c

Statistique	Algebraic Tile	Tile (static)	Tile (dynamic)
Skewness (g1)	-0.678262	-0.215335	0.189717
Kurtosis (g2)	-1.07026	-0.716517	-1.12915
Coefficient de variation $\frac{\sigma}{\mu}$	0.119088	0.227816	0.152147
Percent Imbalance metric en %	13.917	35.1614	28.7716
Coefficient de Gini	0.0646509	0.126651	0.0869639
Temps d'exécution (s)	1.943920	1.673713	2.436635

$$g1 = \frac{\sum_{i=1}^n (x_i - \bar{x})^3}{n\sigma^3} \quad g2 = \frac{\sum_{i=1}^n (x_i - \bar{x})^4}{n\sigma^4} \quad \text{Coefficient de Gini} = \frac{\sum_{i=1}^n \sum_{j=1}^n |x_i - x_j|}{2n^2\bar{x}}$$

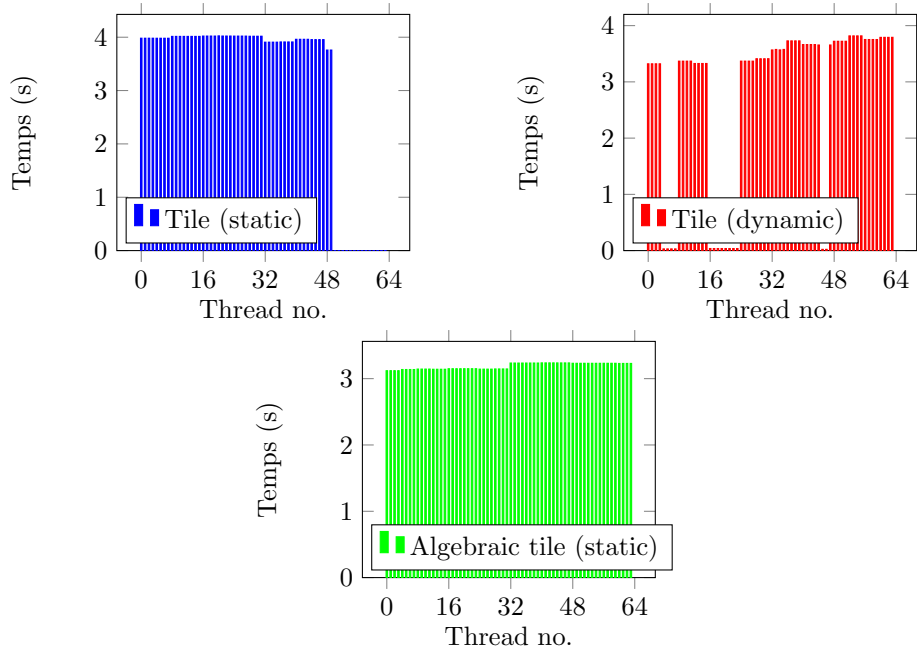


Figure 7: Temps d'exécution des threads pour le fichier 2mm.c

Table 7: Statistiques pour le fichier 2mm.c

Statistique	Algebraic Tile	Tile (static)	Tile (dynamic)
Skewness (g1)	-0.0557961	-1.35703	-1.31602
Kurtosis (g2)	-1.89337	-0.152834	-0.198717
Coefficient de variation $\frac{s}{\bar{x}}$	0.014622	0.529409	0.526214
Percent Imbalance metric en %	1.57242	29.5981	36.3812
Coefficient de Gini	0.00770422	0.224416	0.238855
Temps d'exécution (s)	3.238915	4.028952	3.818190

$$g1 = \frac{\sum_{i=1}^n (x_i - \bar{x})^3}{n\sigma^3} \quad g2 = \frac{\sum_{i=1}^n (x_i - \bar{x})^4}{n\sigma^4} \quad \text{Coefficient de Gini} = \frac{\sum_{i=1}^n \sum_{j=1}^n |x_i - x_j|}{2n^2\bar{x}}$$

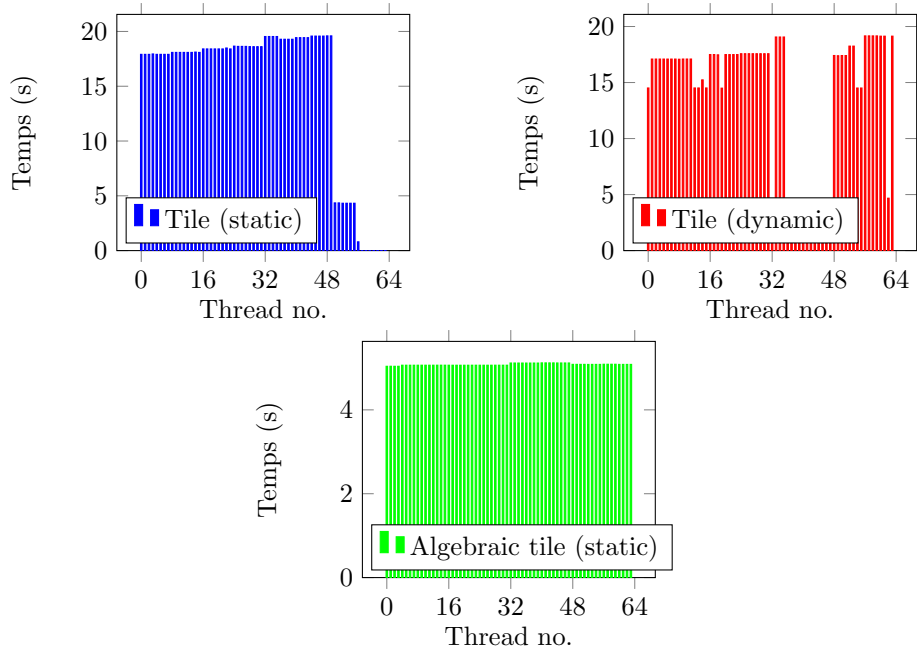


Figure 8: Temps d'exécution des threads pour le fichier 3mm.c

Table 8: Statistiques pour le fichier 3mm.c

Statistique	Algebraic Tile	Tile (static)	Tile (dynamic)
Skewness (g1)	0.38937	-1.40666	-1.22008
Kurtosis (g2)	-0.917304	0.116383	-0.273485
Coefficient de variation $\frac{\sigma}{\mu}$	0.00468773	0.467804	0.394359
Percent Imbalance metric en %	0.75945	30.3998	33.2559
Coefficient de Gini	0.00252531	0.208522	0.190572
Temps d'exécution (s)	5.129881	19.656638	19.173317

$$g1 = \frac{\sum_{i=1}^n (x_i - \bar{x})^3}{n\sigma^3} \quad g2 = \frac{\sum_{i=1}^n (x_i - \bar{x})^4}{n\sigma^4} \quad \text{Coefficient de Gini} = \frac{\sum_{i=1}^n \sum_{j=1}^n |x_i - x_j|}{2n^2\bar{x}}$$



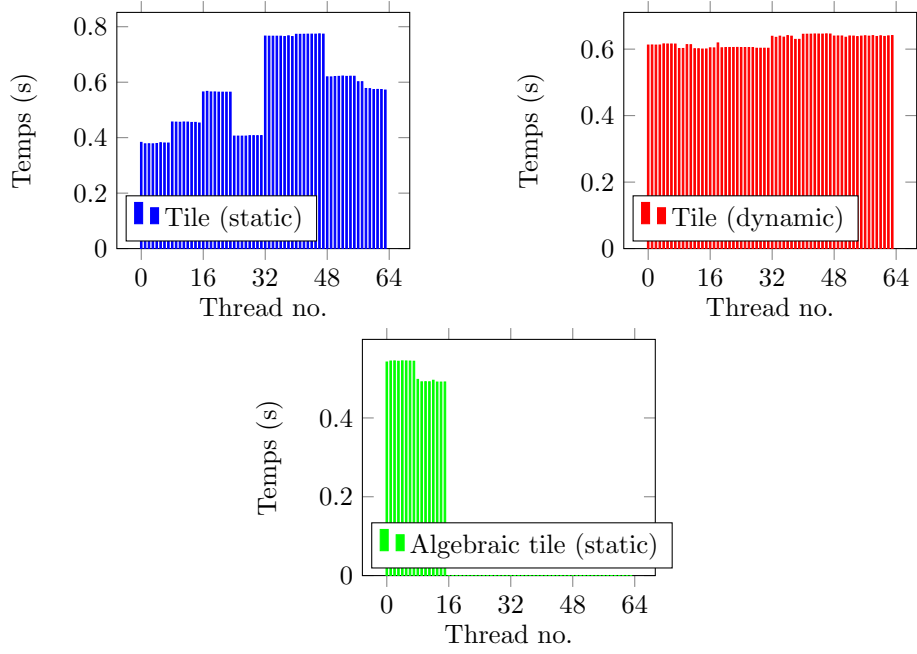


Figure 9: Temps d'exécution des threads pour le fichier atax.c

Table 9: Statistiques pour le fichier atax.c

Statistique	Algebraic Tile	Tile (static)	Tile (dynamic)
Skewness (g1)	1.16601	0.180492	-0.0619433
Kurtosis (g2)	-0.623182	-1.28051	-1.7525
Coefficient de variation $\frac{\sigma}{\mu}$	1.73272	0.247681	0.0274932
Percent Imbalance metric en %	320.006	36.2243	3.60676
Coefficient de Gini	0.755442	0.139446	0.0152477
Temps d'exécution (s)	0.545468	0.774464	0.652932

$$g1 = \frac{\sum_{i=1}^n (x_i - \bar{x})^3}{n\sigma^3} \quad g2 = \frac{\sum_{i=1}^n (x_i - \bar{x})^4}{n\sigma^4} \quad \text{Coefficient de Gini} = \frac{\sum_{i=1}^n \sum_{j=1}^n |x_i - x_j|}{2n^2\bar{x}}$$

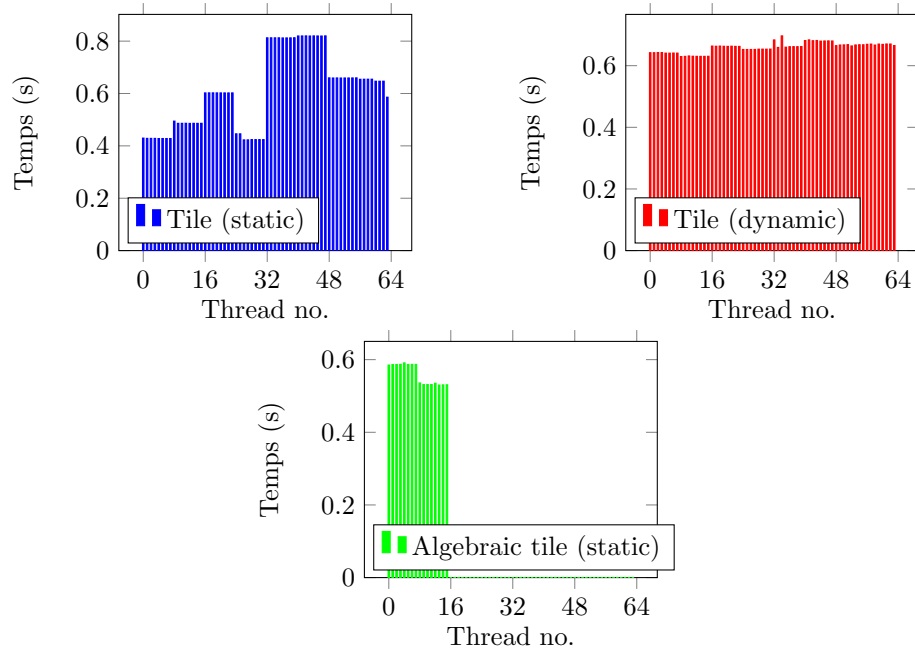


Figure 10: Temps d'exécution des threads pour le fichier bicg.c

Table 10: Statistiques pour le fichier bicg.c

Statistique	Algebraic Tile	Tile (static)	Tile (dynamic)
Skewness (g1)	1.16588	0.153091	-0.265863
Kurtosis (g2)	-0.623692	-1.33098	-0.561668
Coefficient de variation $\frac{\sigma}{\mu}$	1.73286	0.238824	0.0244696
Percent Imbalance metric en %	322.139	34.3751	5.68406
Coefficient de Gini	0.755481	0.134147	0.0136829
Temps d'exécution (s)	0.591976	0.820335	0.698561

$$g1 = \frac{\sum_{i=1}^n (x_i - \bar{x})^3}{n\sigma^3} \quad g2 = \frac{\sum_{i=1}^n (x_i - \bar{x})^4}{n\sigma^4} \quad \text{Coefficient de Gini} = \frac{\sum_{i=1}^n \sum_{j=1}^n |x_i - x_j|}{2n^2\bar{x}}$$

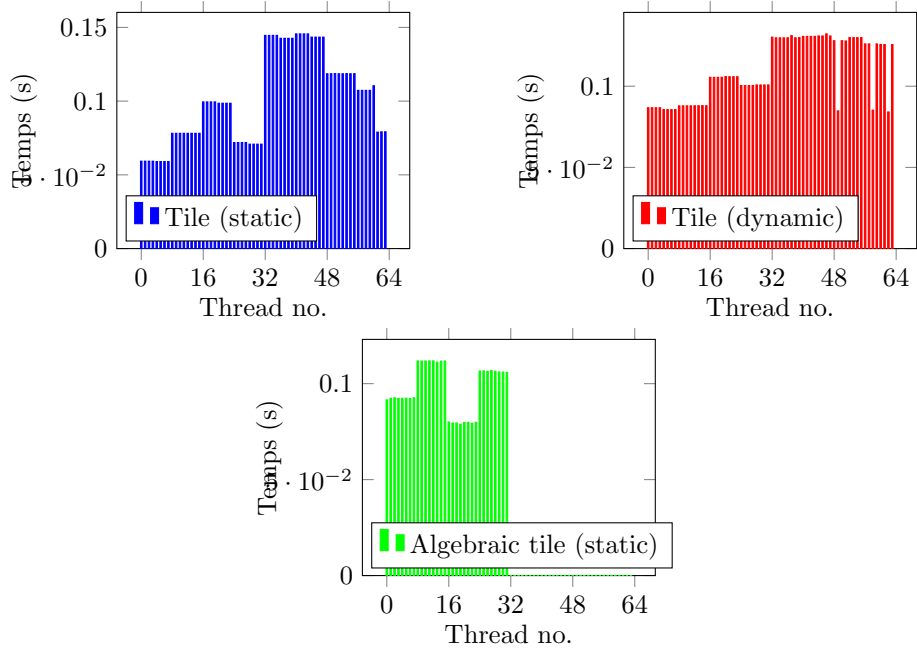


Figure 11: Temps d'exécution des threads pour le fichier mvt.c

Table 11: Statistiques pour le fichier mvt.c

Statistique	Algebraic Tile	Tile (static)	Tile (dynamic)
Skewness (g1)	0.0922342	0.181173	-0.105451
Kurtosis (g2)	-1.88313	-1.36867	-1.68497
Coefficient de variation $\frac{s}{\bar{x}}$	1.01515	0.299429	0.168488
Percent Imbalance metric en %	129.345	43.5255	20.1403
Coefficient de Gini	0.534954	0.16973	0.093082
Temps d'exécution (s)	0.112278	0.145702	0.132336

$$g1 = \frac{\sum_{i=1}^n (x_i - \bar{x})^3}{n\sigma^3} \quad g2 = \frac{\sum_{i=1}^n (x_i - \bar{x})^4}{n\sigma^4} \quad \text{Coefficient de Gini} = \frac{\sum_{i=1}^n \sum_{j=1}^n |x_i - x_j|}{2n^2\bar{x}}$$

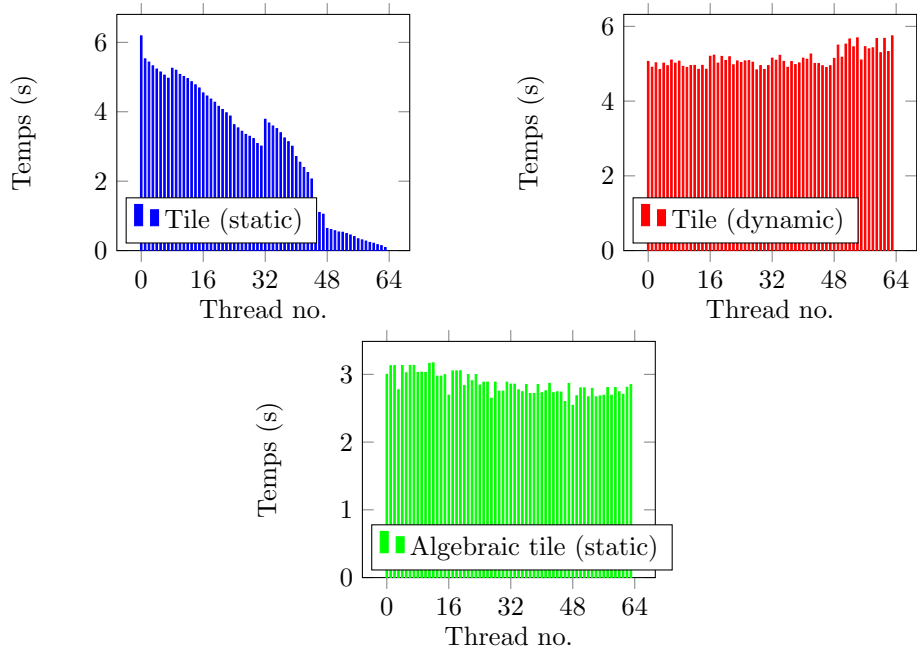


Figure 12: Temps d'exécution des threads pour le fichier correlation.c

Table 12: Statistiques pour le fichier correlation.c

Statistique	Algebraic Tile	Tile (static)	Tile (dynamic)
Skewness (g1)	0.347473	-0.295629	1.13238
Kurtosis (g2)	-0.839794	-1.27959	0.459704
Coefficient de variation $\frac{s}{\bar{x}}$	0.0542904	0.613835	0.04532
Percent Imbalance metric en %	10.8263	106.721	12.0457
Coefficient de Gini	0.0307794	0.347492	0.0241421
Temps d'exécution (s)	3.255758	6.269201	5.765983

$$g1 = \frac{\sum_{i=1}^n (x_i - \bar{x})^3}{n\sigma^3} \quad g2 = \frac{\sum_{i=1}^n (x_i - \bar{x})^4}{n\sigma^4} \quad \text{Coefficient de Gini} = \frac{\sum_{i=1}^n \sum_{j=1}^n |x_i - x_j|}{2n^2\bar{x}}$$

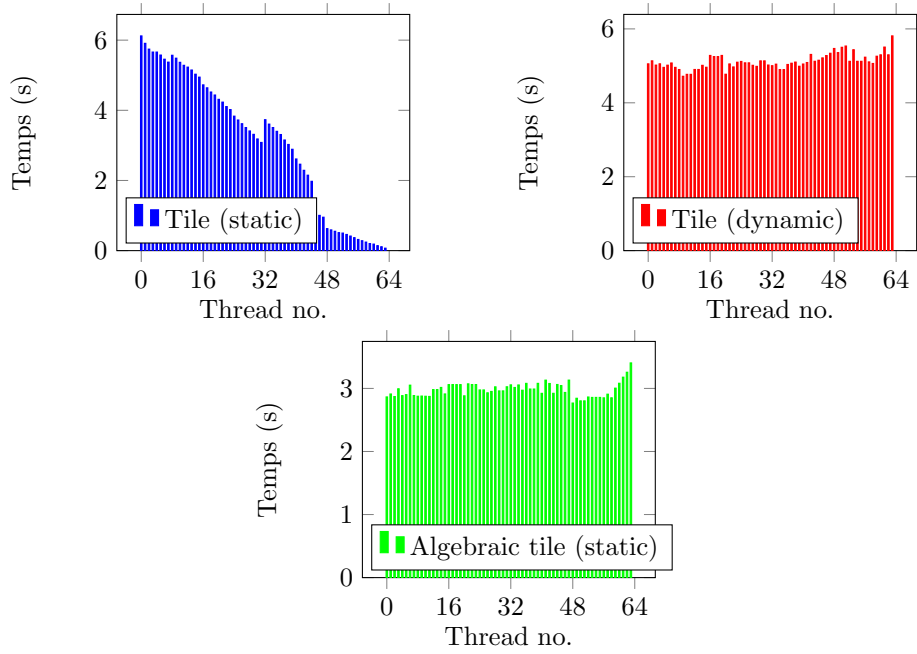


Figure 13: Temps d'exécution des threads pour le fichier covariance.c

Table 13: Statistiques pour le fichier covariance.c

Statistique	Algebraic Tile	Tile (static)	Tile (dynamic)
Skewness (g1)	0.907532	-0.223291	0.76719
Kurtosis (g2)	1.82569	-1.33165	1.23447
Coefficient de variation $\frac{s}{\bar{x}}$	0.0378124	0.636624	0.0389099
Percent Imbalance metric en %	14.3498	98.8746	13.5116
Coefficient de Gini	0.0205509	0.362263	0.021061
Temps d'exécution (s)	3.419980	6.170514	5.825840

$$g1 = \frac{\sum_{i=1}^n (x_i - \bar{x})^3}{n\sigma^3} \quad g2 = \frac{\sum_{i=1}^n (x_i - \bar{x})^4}{n\sigma^4} \quad \text{Coefficient de Gini} = \frac{\sum_{i=1}^n \sum_{j=1}^n |x_i - x_j|}{2n^2 \bar{x}}$$